

## КРАТКИЕ СООБЩЕНИЯ

УДК 550.834.5

В. Г. Быков, Ф. А. Воробьев

ОЦЕНКА ВЛИЯНИЯ НЕФТЕГАЗОВЫХ ЗАЛЕЖЕЙ  
НА ФОРМУ СЕЙСМИЧЕСКОГО ИМПУЛЬСА

На основе модели трехфазной среды рассчитываются динамические характеристики песчаников, насыщенных нефтью и метаном, нефтью и водой, а также водой и воздухом. Учитывается как поглощение сейсмических волн за счет движения смеси жидкости и газа относительно минеральных зерен песчаника, так

В последнее время при поисках нефтегазовых месторождений все большее внимание уделяется прямым методам геофизической разведки, так как около 70% обнаруженных антиклинальных структур оказываются непродуктивными [9]. Применение сейморазведки для поисков нефти и газа связано с эмпирически установленным отличием физических параметров нефтегазоносных залежей от пластов, не содержащих углеводородов. Насыщение коллектора пласта нефтью и газом существенно изменяет скорость и поглощение сейсмических волн, плотность. Как показывают лабораторные и полевые эксперименты [1, 10], наличие в пласте газа либо нефти и газа уменьшает скорость распространения продольных волн на 10—20% по сравнению с таковой при наличии в коллекторе воды. Очень важно то обстоятельство, что залежь углеводородов отличается по своим свойствам от водонасыщенной части того же пласта. В работе [3] отмечено, что скорости сейсмических волн в нефтегазовых залежах для всех исследованных месторождений в среднем на 17% (или 500 м/с) меньше, чем в водонасыщенных пластах за контуром залежи. Коэффициент поглощения в области залежи в 1,5—14 раз выше, чем вне ее. Кроме того, насыщение пласта нефтью уменьшает плотность в объеме залежи по сравнению с плотностью в части коллектора, насыщенной водой, на 0,05—0,1, а насыщенной газом, на 0,1—0,3 г/см<sup>3</sup> [10].

Одним из методов, применяемых в сейморазведке для выявления залежей, является анализ амплитудных кривых отраженных волн с целью обнаружения повышенного поглощения. В связи с этим в настоящей работе предпринята попытка установить изменения, происход-

ящие с сейсмическим импульсом, распространяющимся в пористой среде, насыщенной водой и воздухом, нефтью и метаном.

Для выяснения и анализа зависимости формы импульса от типа флюида, заполняющего поры, воспользуемся теорией Френкеля-Биостолла [8], учитывающей вязко-инерционный эффект и диссиацию в скелете. Для учета неоднородности флюида применим предложенный Мочизуки [12] способ расчета эффективных параметров смеси жидкости и газа. При исследовании динамических характеристик среды не учитывалось взаимодействие жидкой и газовой фаз, которое, как показано в [11], приводит к аномально высоким коэффициентам поглощения. Следует также отметить, что модель не позволяет использовать удельную поверхность пор, важность которой обсуждается в работе [7].

Математическая модель описывается следующим соотношением для комплексного волнового числа  $k(\omega)$ :

$$\begin{vmatrix} \bar{H}\bar{k}^2 - \rho_b\omega^2 & \rho_f\omega^2 - \bar{J}\bar{k}^2 \\ \bar{J}\bar{k}^2 - \rho_f\omega^2 & \rho_c\omega_0 - \bar{k}\bar{L} - i\omega \frac{\mu_f}{k} F(\omega) \end{vmatrix} = 0, \quad (1)$$

где  $\rho_f = s\rho_l + (1-s)\rho_g$ ;  $\rho_b = (1-m)\rho_s + m\rho_g$ ;  $\rho_a = r(1-m)\rho_l$ ;  $\rho_c = (\rho_f + \rho_a/m)/m$ ;  $r = \frac{1}{2} + \frac{9}{4} \sqrt{\frac{v_f}{b\omega^2}}$ ;  $\frac{1}{\mu_f} = \frac{k_q}{\mu_q} + \frac{k_l}{\mu_l}$ ;  $\bar{k} = k(\omega) = \frac{\omega}{V_p(\omega)} - i\alpha_p(\omega)$ . Здесь  $\rho_l$ ,  $\rho_g$ ,  $\rho_s$  — плотность жидкости, газа и зерен соответственно;  $m$ ,  $k$ ,  $s$  — пористость, проницаемость и степень насыщения пор жидкостью;  $b$  — радиус зерен песчаника;  $k_l$ ,  $k_q$  — относительная проницаемость жидкости и газа;  $\mu_l$ ,  $\mu_g$  — вязкость жидкости и газа;  $v_f$  — кине-

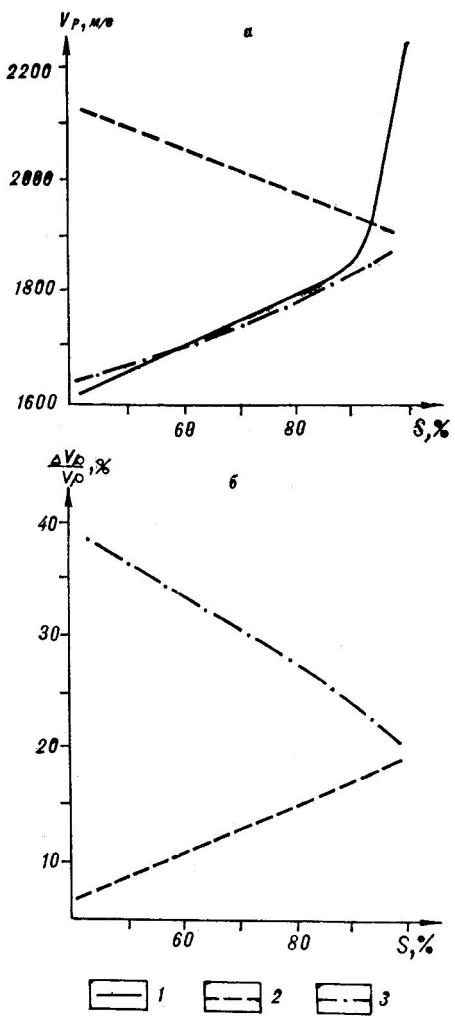


Рис. 1. Зависимость скорости продольных волн (а) и изменения скорости в нефтегазовых и нефтеводяных средах по отношению к скорости в полностью водонасыщенной среде (б) от степени насыщения.

1, 2, 3 — смесь воды и воздуха, нефти и воды, нефти и метана соответственно (процентное соделение в порах: 1 — воды, 2, 3 — нефти).

матическая вязкость смеси;  $G$ ,  $H$ ,  $J$ ,  $L$  — модули упругости;  $F(\omega)$  — функция частотной коррекции;  $V_p(\omega)$ ,  $\alpha_p(\omega)$  — скорость и коэффициент поглощения продольной волны.

Решение уравнения (1) дает численные значения скорости и коэффициента поглощения продольных сейсмических волн. Расчеты проводились в диапазоне частот  $10-10^8$  Гц. Необходимые для вычислений физические параметры веществ взяты в [2, 12] и имеют следующие значения: вода —  $\rho_l = 10^3 \text{ кг}/\text{м}^3$ ;  $c_l = 4,7 \cdot 10^{-10} \text{ м}^2/\text{Н}$ ;  $\mu_l = 1,02 \cdot 10^{-3} \text{ Па} \cdot \text{с}$ ; воздух —  $\rho_g = 1,285 \text{ кг}/\text{м}^3$ ;  $c_g = 7,049 \cdot 10^{-6} \text{ м}^2/\text{Н}$ ;  $\mu_g = 1,62 \cdot 10^{-5} \text{ Па} \cdot \text{с}$ ; нефть —  $\rho_l = 0,75 \times 10^3 \text{ кг}/\text{м}^3$ ;  $c_l = 10^{-9} \text{ м}^2/\text{Н}$ ;  $\mu_l = 1,5 \cdot 10^{-3} \text{ Па} \cdot \text{с}$ ; метан —  $\rho_g = 0,06 \cdot 10^3 \text{ кг}/\text{м}^3$ ;  $c_g = 1,67 \cdot 10^{-8} \text{ м}^2/\text{Н}$ ;  $\mu_g = 10^{-5} \text{ Па} \cdot \text{с}$ ; песчаник —  $\rho_s = 2,65 \cdot 10^3$ ;  $c_s = 2,484 \cdot 10^{-11} \text{ м}^2/\text{Н}$ ;  $G = 1,43 \cdot 10^9 \text{ Н}/\text{м}^2$ ;  $m = 0,23$ ;

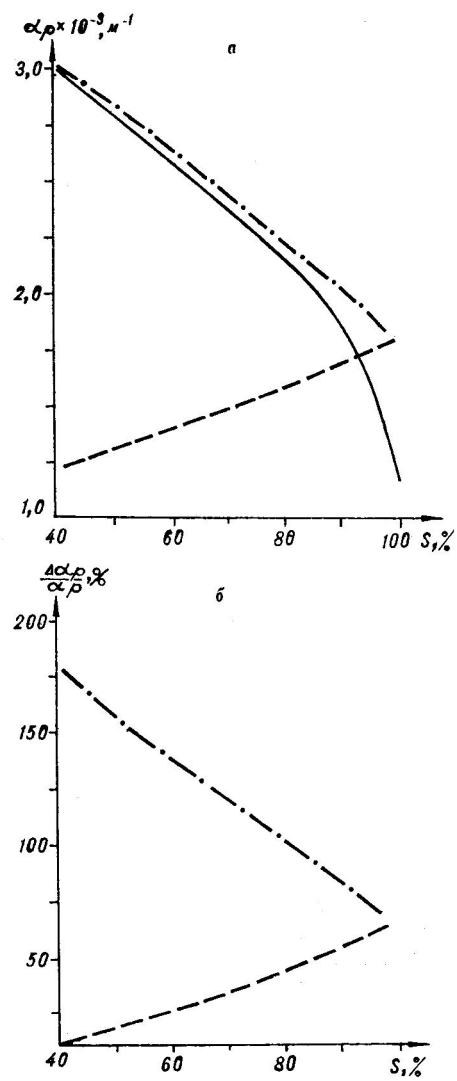


Рис. 2. Зависимость коэффициента поглощения (а) и изменения поглощения в нефтегазовых и нефтеводяных средах по отношению к поглощению в полностью водонасыщенной среде (б) от степени насыщения.

Усл. обозн. те же, что на рис. 1.

$k = 7,13 \cdot 10^{-13} \text{ м}^2$ ;  $b = 1,75 \cdot 10^{-4} \text{ м}$ .  $c_l$ ,  $c_g$ ,  $c_s$  — сжимаемость жидкости, газа и минерального скелета соответственно. Значения  $k_l$ ,  $k_g$ ,  $v_r/2\pi b^2$  определялись по графикам, приведенным в [12]. Функция коррекции  $F(\omega)$  вычислялась по формулам, представленным в [4]. Декременты затухания в скелете принимались равными 0,07. Вычисления проводились на ЭВМ ЕС-1052.

Проанализируем результаты расчетов.

1. С увеличением степени насыщения пор водой от 40 до 100% скорость продольных волн  $V_{\text{вв}}$  в диапазоне  $10^2-10^3$  Гц увеличивается от 1617 до 2264 м/с (рис. 1, а); коэффициент поглощения  $\alpha_{\text{вв}}$  при  $f = 100$  Гц уменьшается от  $3,1 \cdot 10^{-3}$  до  $1,1 \cdot 10^{-3} \text{ м}^{-1}$  (рис. 2, а). При нефтенасыщении песчаника от 40 до 100%

вытеснении из его пор метана скорость сейсмических волн  $V_{\text{нв}}$  в том же частотном диапазоне увеличивается от 1622,4 до 1890,7 м/с (см. рис. 1, а), коэффициент поглощения  $\alpha_{\text{нв}}$  при этом на частоте 100 Гц уменьшается от  $3,1 \cdot 10^{-3}$  до  $1,81 \cdot 10^{-3}$  м<sup>-1</sup> (см. рис. 2, а). Для нефтеvodяного контактного слоя (в котором происходит вытеснение минерализованной воды) значения скорости  $V_{\text{нв}}$  и коэффициенты поглощения  $\alpha_{\text{нв}}$  (при тех же условиях) в зависимости от степени насыщения коллектора нефтью будут изменяться в пределах от 2124,2 до 1890,7 м/с и от  $1,23 \cdot 10^{-3}$  до  $1,81 \cdot 10^{-3}$  м<sup>-1</sup> соответственно (см. рис. 1, а, 2, а).

На рисунках 1, б и 2, б приведено изменение скорости  $\frac{\Delta V}{V} = \frac{V_{\text{в}} - V_{\text{нм, нв}}}{V_{\text{нм, нв}}}$  и коэффициента поглощения  $\frac{\Delta \alpha}{\alpha} = \frac{\alpha_{\text{нм, нв}} - \alpha_{\text{в}}}{\alpha_{\text{в}}}$  по отношению

к этим же параметрам полностью водонасыщенной среды. При увеличении  $S$  от 40 до 100% скорость в нефтегазовой залежи меньше скорости в водоносном пласте на 40–20%, поглощение же больше на 18,2–64,5%. В пределах нефтеvodяного контакта  $V_{\text{нв}}$  меньше  $V_{\text{в}}$  на 6,6–19,7%, а  $\alpha_{\text{нв}}$  больше  $\alpha_{\text{в}}$  на 11,8–64,5% (см. рис. 1, б, 2, б). Рассчитанные величины скоростей и коэффициентов поглощения и различие их значений в контуре залежи и вне контура удовлетворительно согласуются с приведенными выше экспериментальными данными.

Необходимо отметить, что при сильной газонасыщенности нефти и воды скорость и поглощение в продуктивной залежи и водоносных пластах до некоторой степени насыщения мало различимы, что по-видимому, связано с сильной сжимаемостью газов и своеобразным сочетанием значений плотности и вязкости. Кроме того, при определенном процентном соотношении нефти и метана, воды и воздуха в смеси различные среды, что видно из рис. 1, а, 2, а, могут иметь одинаковые значения скорости и поглощения. Однако, как отмечено в [6], в нефти содержится значительно больше растворенных газов, нежели в пластовой воде. Поэтому полученные совпадения значений динамических характеристик нефтегазовых залежей и водоносных пластов, по-видимому, довольно редки, хотя иногда и наблюдаются в естественных условиях [3, 5]. Это обстоятельство затрудняет применение значений скоростей и коэффициентов поглощения в качестве диагностических признаков залежи и может привести к ошибочным выводам.

2. Скорости сейсмических волн в водонасыщенных пластах при изменении частоты от  $10^2$  до  $10^8$  Гц увеличиваются несущественно. При наличии в коллекторе смеси нефти и метана

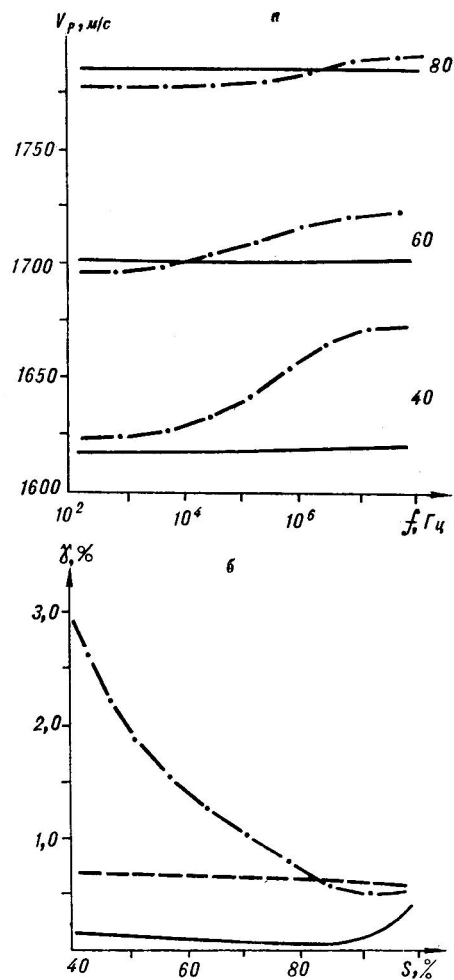


Рис. 3. Зависимость скорости продольных волн от частоты (а) и дисперсии от насыщения (б). Усл. обозн. те же, что на рис. 1.

скорость продольных волн в диапазоне  $10^2$ – $10^8$  Гц значительно возрастает, наибольшее изменение получено при 40% насыщении пор нефтью (рис. 3, а). Максимальная дисперсия  $\gamma = (V_\infty - V_0)/V_0$  наблюдается в нефтегазонасыщенной среде и в зависимости от насыщения меняется от 3 до 0,52% (см. рис. 3, б). В водонасыщенной среде дисперсия незначительна и достигает наибольшего значения  $\gamma = 0,42\%$  при полном насыщении водой. В нефтеvodяном контактном слое дисперсия почти постоянна и равна в среднем 0,65%.

3. Декремент затухания продольных волн  $\delta_p = \alpha_p \cdot V_p/f$  в нефтегазовой залежи сильно зависит от частоты (рис. 4). С увеличением насыщения песчаника нефтью  $\delta_p$  уменьшается. В водонасыщенной среде с частичным заполнением воздухом  $\delta_p$  почти не зависит от частоты во всем диапазоне частот.

В водонефтяном слое  $\delta_p$  подчиняется нелинейному закону и возрастает при увеличении насыщения нефтью.

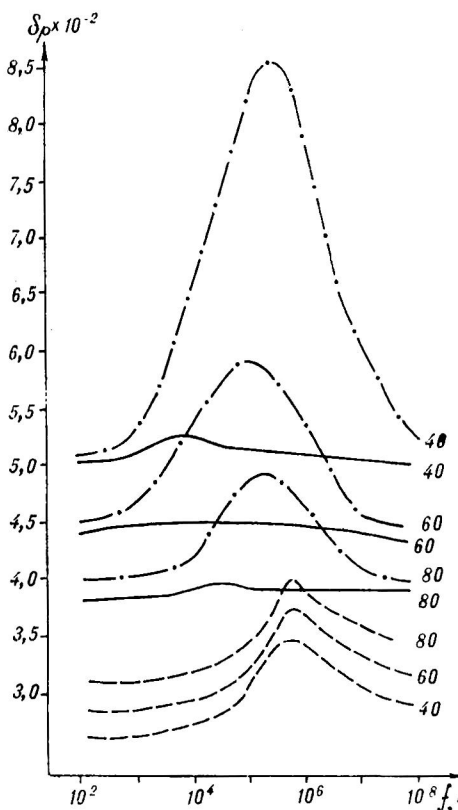


Рис. 4. Зависимость декремента поглощения от частоты. Цифрами обозначено процентное содержание жидкости в порах. Усл. обозн. те же, что на рис. 1.

4. Плотность нефтегазонасыщенной среды в зависимости от степени насыщения метаном по сравнению с плотностью полностью водонасыщенной среды уменьшается на 0,05—0,15 г/см³, что совпадает с экспериментальными данными.

При известном поведении динамических характеристик среды в интересующем нас диапазоне частот можно рассмотреть изменение формы сейсмического импульса как в нефтегазонасыщенной, так и в водонасыщенной среде. В качестве исходного выберем импульс Берлаге  $f(t) = te^{-\tau_0 t} \sin \omega_0 t$ . Форма импульса на некотором расстоянии  $x$  от источника определяется при помощи интеграла Фурье [1]

$$f(x, t) = \int_{-\infty}^{\infty} F(\omega) e^{i(\omega t - kx)} d\omega, \quad (2)$$

$$F(\omega) = \frac{1}{2i} \left\{ \frac{1}{[\tau_0 + i(\omega - \omega_0)]^2} - \frac{1}{[\tau_0 + i(\omega + \omega_0)]^2} \right\},$$

где  $F(\omega)$  — фурье-образ импульса Берлаге.

Простые преобразования приводят (2) к виду

$$f(x, \xi) = \frac{i}{4\pi} \int_{-\infty}^{\infty} \left\{ \frac{1}{(\lambda + i\omega)^2} - \frac{1}{(\mu + i\omega)^2} \right\} e^{i\omega\xi - \alpha_p(\omega)x} d\omega, \quad (3)$$

$$\lambda = \tau_0 + i\omega_0; \mu = \tau_0 - i\omega_0; \xi = t - x/V_p(\omega).$$

При вычислении интеграла (3) значение  $x$  принимались равными 250, 500 и 1000 м. Константа затухания  $\tau_0$  и средняя частота импульса  $\omega_0$  были выбраны соответственно 125,6 и 628 с⁻¹.

На рис. 5 представлено относительное изменение амплитуды импульса  $Z = f(x, t)/f(0, t)$ , распространяющегося в водо- и нефтегазонасыщенной средах. Сопоставление кривых показывает, что они различны по форме и отличаются сдвигом по оси абсцисс. При удалении от источника колебаний импульс слаживается, число экстремумов уменьшается, амплитуда заметно убывает. Первое вступление импульса становится более пологим, экстремумы гармонического заполнения — менее различными по амплитуде. Особенно ярко это проявляется при прохождении импульса Берлаге в нефтегазовой среде. Причем наибольшему изменению подвержены импульсы в среде с 40%-м насыщением нефтью. При  $x = 250$  м и насыщением

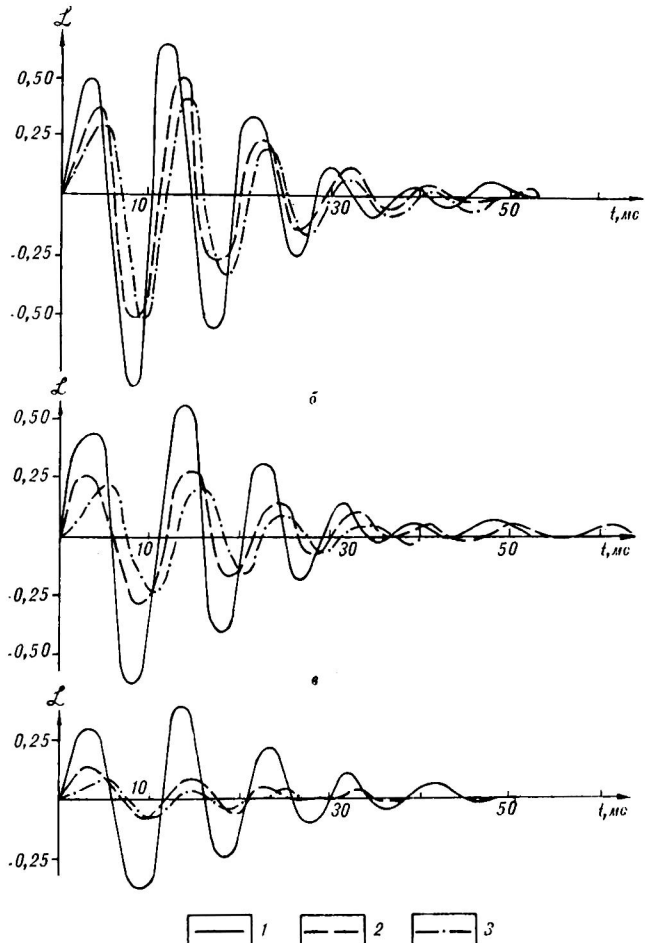


Рис. 5. Форма импульса на различных расстояниях от источника колебаний: а — 250, б — 500, в — 1000 м. 1 — водонасыщенная среда; 2 — 60%-е, 3 — 40%-е насыщение нефтью. Преобладающая частота импульса — 1000 Гц.

пор песчаника на 60% нефтью и на 40% метаном конечная часть импульса удлиняется.

Основные результаты работы сводятся к следующему. 1. Проведен расчет и сравнительный анализ скоростей и коэффициентов поглощения продольных сейсмических волн в нефтегазонасыщенных и водонасыщенных средах. 2. Установлены значительная дисперсия скорости и сильная зависимость декремента затухания от частоты в нефтегазонасыщенных средах. В водонасыщенной среде дисперсия мала,  $\delta_p$  почти

не зависит от частоты. 3. Показано, что сейсмический импульс при прохождении через нефтегазовые залежи претерпевает значительно большее изменение, нежели при прохождении сквозь водонасыщенные пласты.

В заключение авторы выражают глубокую благодарность Ю. В. Мельникову за помощь при проведении численных расчетов и И. К. Тузову за ценные критические замечания и полезные советы.

## ЛИТЕРАТУРА

1. Авербух А. Г. Оценка влияния нефтегазовых залежей и других внутрипластвовых неоднородностей на проходящие волны.—Изв. АН СССР. Физика Земли, 1974, № 6.
2. Горбатова В. П. О поглощающих свойствах консолидированных двухфазных сред.—Прикл. геофиз., 1969, вып. 57.
3. Давыдова Л. Н., Березкин В. М. К обоснованию применения сейсморазведки для прямых поисков месторождений нефти и газа.—Там же, 1975, вып. 79.
4. Ляхович Ф. М., Юдасин Л. А. Влияние поро-заполнителя и пластовых условий на скорости и поглощение упругих волн в песчаниках.—Изв. АН СССР. Физика Земли, 1981, № 4.
5. Пархоменко И. С. О зависимости затухания упругих волн от частоты в песке.—Там же, 1967, № 8.
6. Сергеев Л. А. и др. Поиски нефтяных и газовых месторождений с помощью прямых геофизических методов.—М.: Наука, 1973.
7. Сибиряков Б. П. Упругие постоянные трещинных коллекторов.—Геол. и геофиз., 1983, № 12.
8. Столл Р. Д. Акустические волны в водонасыщенных осадках.—В кн.: Акустика морских осадков. М.: Мир, 1977.
9. Трофимук А. А. Первые результаты применения прямых методов поиска и разведки нефтяных и газовых месторождений в Сибири.—Вестн. АН СССР, 1981, № 11.
10. Трофимук А. А., Мандельбаум М. М., Пузырев Н. Н., Сурков В. С. Прямые поиски нефти и газа и их применение в Сибири.—Геол. и геофиз., 1981, № 4.
11. Уайт Д. Е., Михайлова Н. Г., Ляхович Ф. М. Распространение сейсмических волн в слоистых средах, насыщенных жидкостью и газом.—Изв. АН СССР. Физика Земли, 1975, № 10.
12. Mochizuki S. Attenuation in partially saturated rocks.—J. Geophys. Res., 1982, v. 87.

ИТИГ ДВНЦ АН СССР  
Хабаровск

Поступила в редакцию  
20 декабря 1985 г.

УДК 551.21.26

Л. Ф. Мишин

## К ТЕКТОНИКЕ ОКРАИННО-КОНТИНЕНТАЛЬНЫХ ВУЛКАНИЧЕСКИХ ПОЯСОВ ВОСТОКА АЗИИ

Рассмотрена современная структура окраинно-континентальных вулканических поясов Востока Азии. Ее особенностями являются дуговая форма с односторонней, как в современных островных дугах, выпуклостью в сторону океана и моноклинальный структурный план с погружением пород также в сторону океана. Моноклиналь окраинно-континентальных поясов, сопряженные с нею шельфовые и внутренеконти-

Судя по сохранившимся от эрозии выходам вулканических, субвулканических, интрузивных пород и даек, субаэральные вулканогенные породы мезо-кайнозойского возраста занимали значительные пространства Востока Азии. В современном эрозионном срезе в пределах этого обширного ареала вдоль побережья Тихого океана на протяжении 8000 км прослеживает-

нентальные впадины и прибрежные асимметричные неотектонические своды образуют западное оформление зоны перехода от океана к континенту. Моноклинальность залегания пород обусловлена ступенчатой просадкой окраины континента, происходящей предположительно с палеогена и продолжающейся в неотектонический этап.

ся система окраинно-континентальных вулканических поясов. В нее входят Охотско-Чукотский, Восточно-Сихотэ-Алинский, Южно-Корейский и Восточно-Китайский вулканические пояса.

В плане краевые пояса имеют дуговую форму. В основном это одинарные дуги, лишь Охотско-Чукотский пояс образован нескольки-